

## 土石流の流動機構

京都大学防災研究所 正員 高橋保  
京都大学大学院 学生員 ○藤井由之

1. はじめに 土砂を高濃度に含む流れは、土砂の粒径が大きく相対水深の小さな場合や勾配のさほど急でない場合にはダイラタント流体として流動する（砂礫型土石流）。また、相対水深の大きな場合や勾配が非常に急な場合には、ピンガム流体、または粒子が浮遊して衝突効果と乱れ効果の双方が作用するような流体として流動する（泥流型土石流）。ここでは、砂礫型から泥流型への遷移を明らかにするとともに、中立浮遊粒子を高濃度に含む流れについても言及する。また、土石流が発達する過程に関する検討を加える。

2. 砂礫型から泥流型への遷移  $d_a = 0.148 \text{ cm}$  ( $\sigma = 1.74 \text{ g/cm}^3$ ) および  $d_a = 0.076 \text{ cm}$  ( $\sigma = 1.86 \text{ g/cm}^3$ ) の

2種類の軽量骨材を用り、長さ 4m、幅 5cm、深さ 10cm の木路に上流から水と粒子を供給し、側面から高速度ビデオカメラで撮影し、下流端で濃度を測定した。また、河床付近の側壁に作用する圧力との地点ごとの水位変動を測定した。

流速分布を図-1 に示す。勾配の急な程、また粒径の小さな程、ダイラタント流体の流速分布（図中の実線）からはずれなくなることがミニマム確認された。その場合、上層部に流速が一様に近い部分が存在するが、大きく乱れておりピンガム流体のプロファイルであるとは考え難い。そ

こで、粒子近傍の流速が Bagnold の Auto-Suspension 限界  $u_s = w / \sin \theta$  ( $w$ : 粒子の沈降速度) を超えた場合に浮遊を開始し、その流速を与える高さ  $h_s$  より上層では、混合距離が  $l = k(y - h_s)$  ( $k$ : カルマン定数) の舌状であると考え、次式を立てた。

$$y \leq h_s : u_i \sin \alpha \tau \lambda^2 d^2 (dy/dy)^2 = f_{cd}(\tau - p) + p \{ g(h-y) \sin \theta$$

$$y > h_s : u_i \sin \alpha \tau \lambda^2 d^2 (dy/dy)^2 + f_{cd} k^2 (y-h_s)^2 (dy/dy)^2 = f_{cd}(\tau - p) + p \{ g(h-y) \sin \theta$$

ここに、 $a_i$ : 定数、 $\alpha$ : 衝突角、 $\lambda$ : 線形濃度、 $f_{cd}$ : 粒子浮遊を考慮した見掛けの密度、 $C_d$ : 体積濃度である。また、式(1), (2)により計算される流速分布は近似的に次式で示される（図中の一点鎖線）。

$$y \leq h_s : u/u_x = 2h/3ad \left| \frac{C_d(\tau - p) + p}{\tau a_i \sin \alpha} \right|^{\frac{1}{2}} \left| 1 - \left( 1 - \frac{y}{h} \right)^{\frac{3}{2}} \right|$$

$$y > h_s : u/u_x = \frac{1}{k} \ln \left| \left( Y_s + \sqrt{Y_s^2 + \phi^2} \right) / \phi \right|$$

$$\text{ここで } Y_s = (y - h_s)/h, \phi^2 = \lambda^2 (a_i \sin \alpha / k^2) (d/h)^2 \left( \frac{1}{C_d(\tau - p) + p} \right)$$

この場合、実際に粒子が浮遊しているのなら、河床付近で測定される水圧は静水圧より

Tanotsu TAKAHASHI, Yoshiyuki FUJII

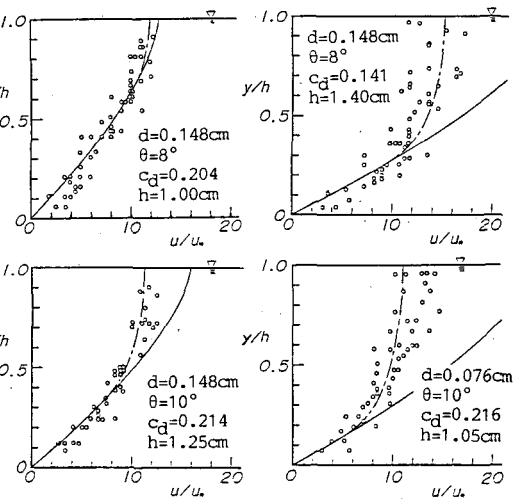


図-1 流速分布

大きくなるはずである。そこで、式(1)、(2)より得られる過剰間隙水圧の理論値と測定値との比較を図-2に示す。理論値より小さめの測定値が得られる傾向があるが、これは、測定点付近での流れの剥離や、粒子の浮遊している領域でも濃度を一様と假定したことの影響と考えられる。

### 3. 中立浮遊粒子流

$d_s=0.135\text{cm}$ の中立浮遊粒子（ポリスチレン）を用いて、前項と同様の実験を行った。河床付近の粒子も浮遊してしまうため、式(3)、(4)をそのまま用いることはできない。その流速分布は、実際の水路か滑面であるにもかかわらず、粗面乱流の対数分布則に全く一致する（図-3）。河床付近の粒子の衝突効果によつて粗度が形成されるものと解釈することができます、その相当粗度は濃度の関数として図-4のように示される。

### 4. 土石流の発達過程

$d_s=0.148\text{cm}$ の軽量骨材を、幅5cmの水路に厚さ5cmで敷き、流出しないように押さえながら水を飽和し、押さえ立はずして土石流を発生させる。段波通過後の定常に近づく状態での侵食速度、運動量、濃度等を測定し、堆積長さを変化させてこれにより発達過程を調べる。

堆積層が不安定となる限界は、 $\alpha_c = (C_{d\infty} - C_d) / (C_s - C_{d\infty}) \cdot h^{-1}$  (5) ( $C_{d\infty}$ : 平衡濃度  $C_s$ : 最密充填濃度) で表されるが、これが瞬間に流れに運行されるのではなくある距離が必要である。この距離を流動層に比例するものと仮定し、比例定数を $\alpha$ とすれば、侵食速度 $i$ は  $i = \alpha \cdot (C_{d\infty} - C_d) / (C_s - C_{d\infty}) \cdot \bar{U}$  (6) ( $\bar{U}$ : 平均流速) のようになります。図-5は実験から $\alpha$ を求めたものである。このように侵食速度で砂礫が運行され土石流は発生するが、発達過程においては、掃流状集合流動の形態をとり、その土砂流動層内の濃度はほぼ平衡濃度に等しく、次第に厚さを増していく。水面と土砂流動層表面が一致しないためやや式の形は異なるが、式(3)、(4)と同じ考え方で計算した流速分布を図-6に実線で示す。侵食に伴う運動量消費の結果として流速は小さくなるが、平衡状態に達すれば計算で得られた流速分布に一致する。

5. おわりに、粒子の浮遊を考慮することにより、砂礫型と泥流型の土石流の遷移および中立粒子流を説明できた。また、発達過程での侵食速度や流速分布に関する議論を行った。しかし、粒子比重による流れの遷移など不明確な点は多く、課題は多く残されている。

### 参考文献

Baynold: Proc.

R.S. London 1962

新井信彦: 40回年譜

高橋: 分かれ子

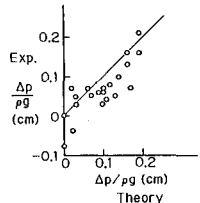


図-2 過剰間隙水圧

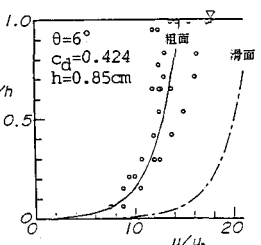


図-3 流速分布

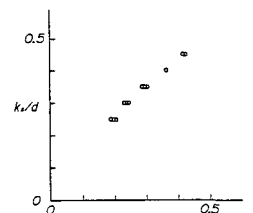


図-4 濃度と相当粗度

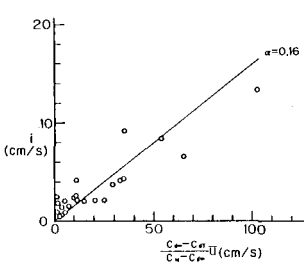


図-5 侵食速度

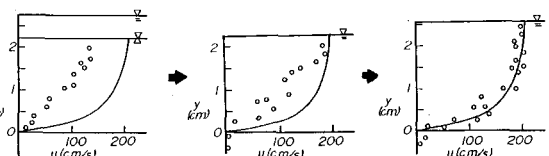


図-6 発達過程